

論 文

[2020] PRC 桁のひびわれに関する調査研究

正会員○大庭光商 (J R 東日本 東北工事事務所)

米内昭夫 (J R 東日本 東北工事事務所)

正会員 竹内研一 (J R 東日本 東北工事事務所)

正会員 石橋忠良 (J R 東日本 東北工事事務所)

1. はじめに

鉄道橋において PRC 桁はすでに 50 連以上の施工実績がある。

RC や PRC 部材の曲げひびわれ幅は、持続荷重下においてコンクリートの圧縮クリープ、乾燥収縮によって時間の経過とともに増加することが知られている。このため、鉄道橋においてこれら PRC 桁のひびわれ制御は、死荷重作用時のコンクリートの縦引張応力度や鉄筋の引張応力度を制限することにより行ってきた。¹⁾

本研究は、RC 桁のひびわれ制御を目的として、アウトサイドケーブルにより比較的少量のプレストレスを導入した PRC 桁と膨張コンクリートを用いた RC 桁について約 3 年間実橋調査を実施したので、これら実橋のひびわれ制御について検討を行ったものである。

なお、昨年は約 2 年間の実橋測定結果²⁾を報告した。

2. 調査橋梁

本調査橋梁の全体図と主桁断面を図-1 に示す。本橋は、2 連のアウトケーブルを用いた PRC 桁と、5 連の膨張コンクリートを用いた RC 桁からなっており、桁長 25.8m(スパン 24.9m)、幅 5.05m の単線一室箱形桁である。なお、PRC 桁は PC ケーブル(SWPR7B 12T12.7)本数を各々、3 本(B-1)、2 本(B-5)使用し、120t/本のプレストレスを導入した。また、施工は支保工により場所打ち施工を行った。

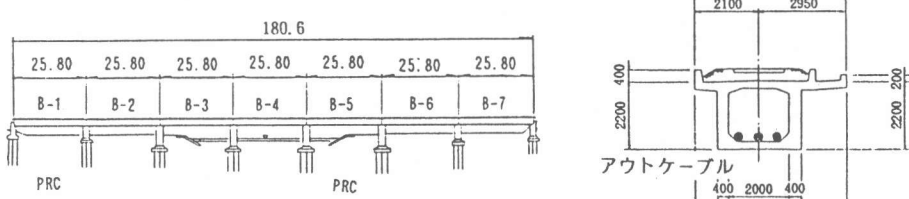


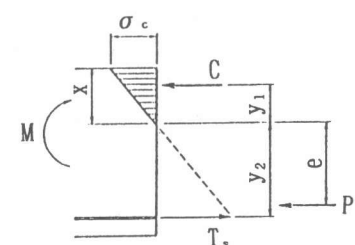
図-1 橋梁一般図

PRC 桁の設計は、曲げに対する検討以外は通常の RC 桁と同様である。

曲げ耐力の検討は、アウトケーブルに導入したプレストレスによる偏心軸力が作用する RC 構造として設計した。

使用時の検討は、荷重による作用モーメント M からプレストレスの偏心軸力 P によるモーメントを減じたモーメントを設計モーメント M_0 として行った。この場合の設計曲げモーメント M_0 は $M_0 = M - P \cdot e$ となる(図-2)。

各橋桁の中央断面の応力度を表-1 に示す。

図-2 偏心軸力が作用する
鉄筋コンクリート断面

R C 枝にはかなり大きいひびわ

れ幅のものがあった[図-3 (a)]。

① ひびわれ幅

供用開始 1 ~ 2 年後の測定結果では、図-3 における斜線部の度数が増加していることから、R C ・ P R C 枝ともにひびわれ幅が大きくなっているのがわかる[図-3 (b), (c), (d)]。

R C 枝(B-2)はひびわれに注入し補修したにもかかわらず、0.2mm 以上のひびわれ度数が増加している[図-3 (b)]。

供用開始 2 年後(S. 63. 11) の調査でも P R C 枝は、R C 枝に比べると 0.2mm 以上の過大なひびわれは少なく、ひびわれの制御が比較的うまくいっているようと思われる[図-3 (c), (d)]。

② 平均ひびわれ間隔

当初、P R C 枝はプレストレスの効果によりひびわれが少なく、平均ひびわれ間隔はかなり大きい。供用開始 1 年後には、R C 枝・P R C 枝ともほとんど同じ値となっている(表-2)。

③ ひびわれ面積率

ひびわれ面積率は材令とともに R C 枝・P R C 枝とも大きくなっている。

特に、P R C 枝のひびわれ面積率の伸びが R C 枝に比べて、供用開始 1 年後から供用開始 2 年後の調査の間に増加している。これより、P R C 枝のひびわれの進行は R C 枝に比べると、遅いようである。

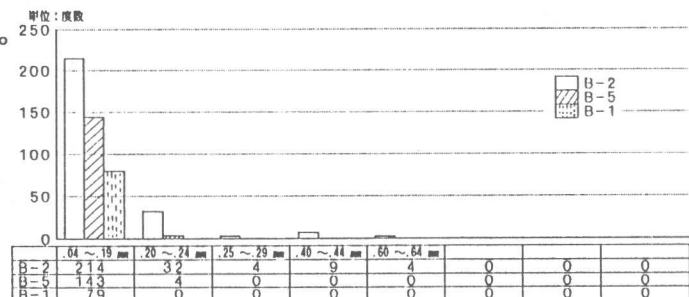


図-3 (a) ひびわれ度数 (S. 61.8 時点の各枝のひびわれ度数)



図-3 (b) ひびわれ度数 RC (B-2)

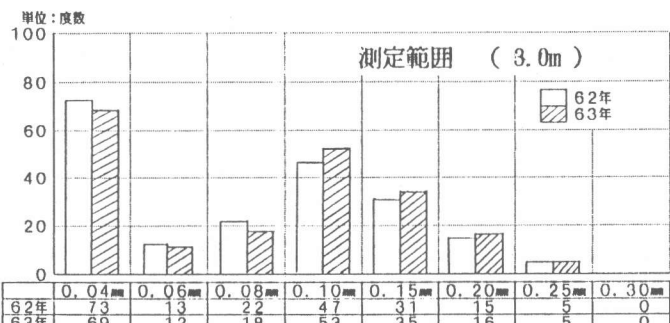


図-3 (c) ひびわれ度数 PRC(B-1)

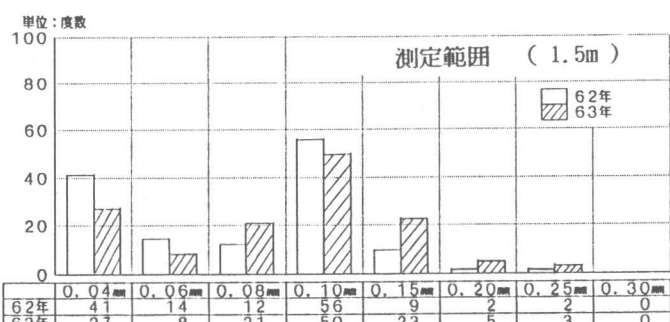


図-3 (d) ひびわれ度数 PRC(B-5)

3-2 鉄筋の応力度とひびわれ発生時期の推定

R C 枠を除いてひびわれ発生時期が明確でなかったので、枠下側の鉄筋の実測ひずみから鉄筋応力を求め、力のつり合い条件とコンクリート応力度の直線分布を仮定し、全断面有効としてコンクリートの縁引張応力度を計算することにより、ひびわれの発生時期を推定した。

なお、ひびわれ発生時のコンクリートの曲げ引張応力度は $\sigma_{ct} = 0.9f'ck^{2/3}$ ($f'ck$: 設計基準強度) として算出した。また、鉄筋ゲージの取付位置は枠中央・下スラブ中央で、最下段鉄筋の位置である。計算結果を図-4に示す。なお、PRC 枠(B-1)については後荷重載荷時のデータがないことから除いている。

計算によると、R C 枠は支保工撤去時（自重作用時）にコンクリートの縁引張応力度が、 -44 kgf/cm^2 となっており、この時点でひびわれが発生した。（目視で確認）なお、この時の材令はコンクリート打設後30日である。

次に、PRC 枠(B-5)はバラスト載荷時（死荷重作用時）に -41 kgf/cm^2 の引張応力度となり、この時点ではひびわれが発生したものと思われる。なお、この時の材令はコンクリート打設後107日であった。

3-3 鉄筋ひずみの検討

枠下側の鉄筋ひずみの実測データをクリープ・乾燥収縮の予測式を基にした逐次計算の結果との比較検討を行った。

なお、計算における乾燥収縮度 $\varepsilon_s(t_n, t_1)$ は、次式³⁾を基にして求めた。

$$\varepsilon_s(t_n, t_1) = \varepsilon_{s0} \cdot (k_{s, t_1} - k_{s, t_n}) \quad \dots \dots \dots (1)$$

ここに、 ε_{s0} : 基本乾燥収縮度

k_s : 有効材令および有効部材厚に関する係数

なお、基本乾燥収縮度 ε_{s0} の値として、ひびわれ発生前の各枠の実測鉄筋ひずみと適応するよう種々仮定して検討した結果 $\varepsilon_{s0} = 400 \times 10^{-6}$ を採用した。

一方、クリープひずみについては、参考文献4)の方法により求めた単位応力当たりのコンクリートのクリープひずみ $Csp(t_n, t_1)$ により算定した。

これらの値を用いて材令毎の鉄筋位置のひずみの適合条件を(2)式により順次考慮することにより計算を行った。

$$\varepsilon_s(t_n, t_1) + \sum [Csp(t_n, t_i) \cdot (\Delta N_i / A + \Delta M_i / Z)] = \sum \Delta \mu_{s,i} \quad \dots \dots \dots (2)$$

ここで； $\Delta \mu_{s,i}$: 材令 t_i 日で鉄筋に付加されるひずみ（圧縮を正とする）

t_1 : 乾燥収縮開始材令

ΔN_i , ΔM_i : 材令 t_i 日で鉄筋に付加される軸方向力及び外力モーメント
(荷重・プレストレス・鉄筋反力)

A , Z : 断面積および枠下側鉄筋位置の断面係数

なお、計算値はひびわれ後も全断面有効として行ったものである。

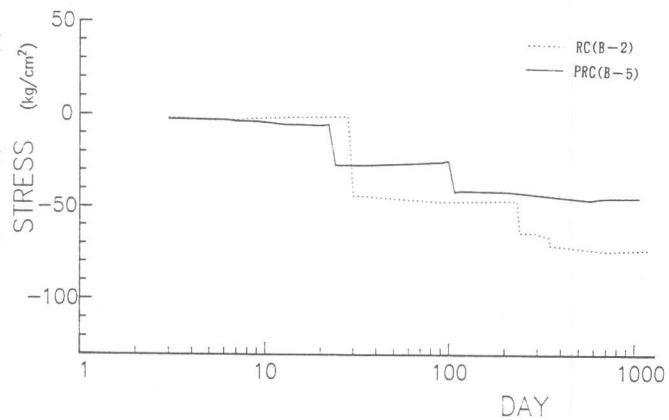


図-4 コンクリート縁引張応力度

以上により計算した桁下側鉄筋のひずみの解析結果を図-5に示す。

計算値は、その傾向が測定値と比較的あっている。特に、RC桁については、計算値が全断面有効と仮定しているにもかかわらず、ひびわれ発生後についても比較的似た傾向を示している。

これは、ひびわれ後も中立軸が余り上がってないことによるものと考えられる。

また、ひびわれ発生後の鉄筋ひずみの測定値におけるその増加傾向はRC桁とPRC桁とでかなり異なりRC桁の方が増加の割合が大きい。

この違いは、桁下縁のひびわれの進行状況がRC桁の方がPRC桁より早いためと思われる。

一方、PRC桁はバラスト載荷後にひびわれが発生したものと思われるが(図-5 B-5)、その後の鉄筋ひずみは余り増加していない。

RC桁に比べてコンクリートの縦引張応力度を低く抑えたPRC桁はひびわれの進行が遅いようである。

3-4 ひびわれ幅の増加分の検討

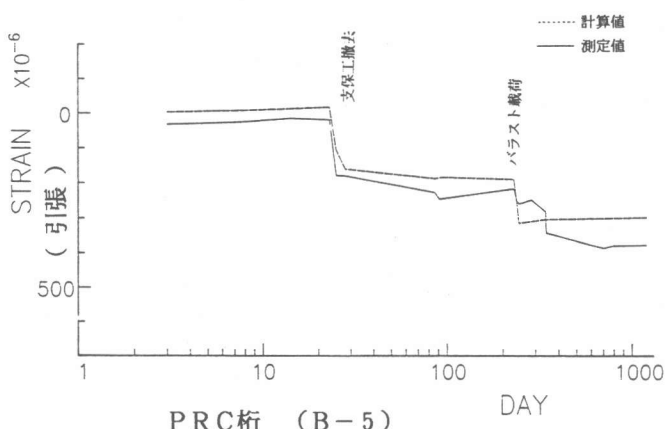
ひびわれ発生後から供用開始2年後までの実測による鉄筋ひずみの増分と乾燥収縮度の計算値³⁾により、ひびわれ幅の増分を算出した。

鉄筋ひずみの測定結果より、ひびわれ後の荷重等によるひずみの増分は材令約1200日までにおいてRC桁 $\varepsilon_s = 198 \times 10^{-6}$ 、PRC桁は材令1060日で $\varepsilon_s = 50 \times 10^{-6}$ であった。

また、計算によるとひびわれ時点での乾燥収縮の進行度はRC桁10%、PRC桁24%程度となる。さらに供用開始2年後の乾燥収縮の進行度は、RC桁72%、PRC桁70%となっている。

したがって、ひびわれ発生後の乾燥収縮による増分は供用開始2年後(S. 63.11)までに、RC桁 $\varepsilon_s = 187 \times 10^{-6}$ 、PRC桁 $\varepsilon_s = 139 \times 10^{-6}$ となる。

RC桁 (B-2)



PRC桁 (B-5)

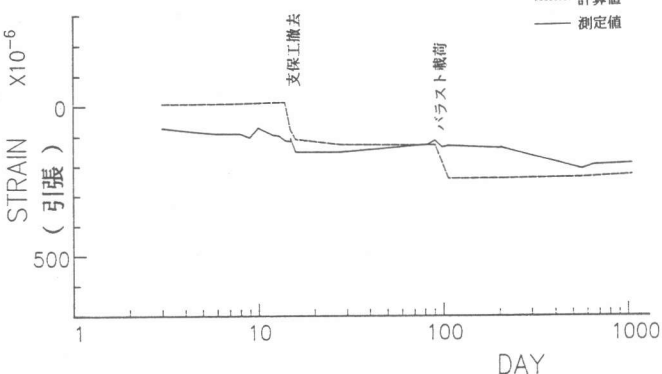


図-5 鉄筋ひずみの比較

表-3 ひびわれ幅の増加分

	RC(B-2)	PRC (B-5)
μ_s	198×10^{-6}	50×10^{-6}
ε_s	187×10^{-6}	139×10^{-6}
L(cm)	30	24
w(mm)	0.116	0.045

μ_s : 鉄筋ひずみの増分

ε_s : 乾燥収縮によるひずみの増分

L : 平均ひびわれ間隔

w : ひびわれ幅

ひびわれ発生後から供用開始2年後までのひびわれ幅の増分を鉄筋ひずみ μ_s と乾燥収縮ひずみ ε_s による増分の和として計算した結果を表-3に示す。

計算上もP R C桁のひびわれ幅の増加割合の小さいことがわかる。これは、P R C桁の鉄筋応力度の増加が殆どなく、乾燥収縮量も小さいためである。

ひびわれが発生した桁は、その後、引張コンクリートの負担していた応力度が鉄筋に徐々に移行する。さらに、乾燥収縮の進行によりひびわれ幅が、拡大するものと想定される。

4. まとめ

実橋における約3年間のひびわれ調査により以下のことがわかった。

- ① P R C桁、膨張コンクリートを用いたR C桁もひびわれ間隔に有意差はない。
- ② P R C桁、R C桁の鉄筋応力度は計算値よりもかなり小さい。
- ③ 鉄筋ひずみの測定値から、実橋ではひびわれ発生後も中立軸の上昇は遅い。特に、コンクリートの縁引張応力度が小さく、ひびわれ発生時期の遅いP R C桁は引張鉄筋のひずみの増加が遅い。
- ④ ひびわれ幅は鉄筋応力度に比例する分と、乾燥収縮分との和と考えられる。そのため、ひびわれ発生材令の遅い程乾燥収縮分が少なく、ひびわれ幅は小さくなると考えられる。

(参考文献)

- 1) P R C桁設計指針(案) : 東日本旅客鉄道株式会社 S. 62. 2
- 2) 石橋忠良、佐藤収、米内昭夫 : P R C桁のひびわれに関する研究、第10回コンクリート工学年次論文報告集 1988, PP. 45-50
- 3) H. リュッッシュ、D. ユングビルド : コンクリート構造物のクリープと乾燥収縮 鹿島出版
- 4) 阪田憲次、池田清 : コンクリートのクリープの予測に関する研究、土木学会論文報告集 NO. 340、1983, PP. 185-191
- 5) 竹内研一、石橋忠良、米内昭夫 : 供試体によるP R C桁の応力度測定実験、土木学会第43回年次学術講演会 1988, PP. 560-561
- 6) 石橋忠良、浦野哲司 : P R C桁の実橋測定とその考察、プレストレストコンクリート VOL. 29, NO. 2, 1987, PP. 18-26
- 7) 石橋忠良、金森真 : 鉄道橋におけるP R C桁、コンクリート工学、VOL. 25, NO. 7, 1987, PP. 96-102